

Tzv. stopy po pracovním stresu (anglická zkratka MOS) můžeme pozorovat na kosterních pozůstatcích člověka ve dvou formách:

-jako morfologické znaky (morfologické změny - tedy změny tvaru kostí nebo jejich povrchu, struktury kostní tkáně nebo chrupu).

-jako normální patologické změny, které vznikají v důsledku zvýšené zátěže kostry při pracovní činnosti nebo jiných každodenních aktivitách

Při hodnocení znaků pracovního stresu postupujeme stejně jako u jiných paleopatologických změn, tedy používáme diferenciální diagnostiku, protože některé změny nelze přiřadit jedné jediné aktivitě, ale vznikají při více činnostech.

Dnes existuje široce užívaná kategorizace znaků pracovního stresu. Řadíme sem:

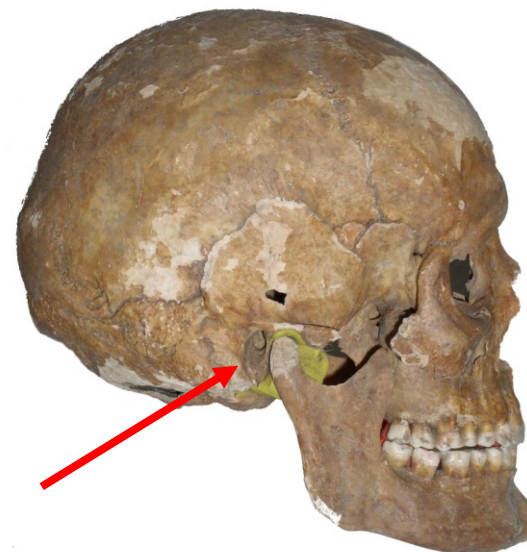
- **specifické změny v oblasti svalových úponů** (MSM specific musculoskeletal markers), kdy úpony svalů nebo šlach kostnatí nebo svalové úpony jsou hypertrofované, v důsledku zesíleného tahu svalů.

- **znaky které byly vyvolány nějakou specifickou činností** a projevují se zvětšenou robustitou kostí končetin, které jsou většinou popisovány délkošířkovým indexem (RD – thickenss ratios)

- **změny v obrusu zubů**

- **změny v oblasti výskytu vlasů a nehtů**

Exostózy v meatus acusticus externus



Osteoartróza temporomandibulárního kloubu

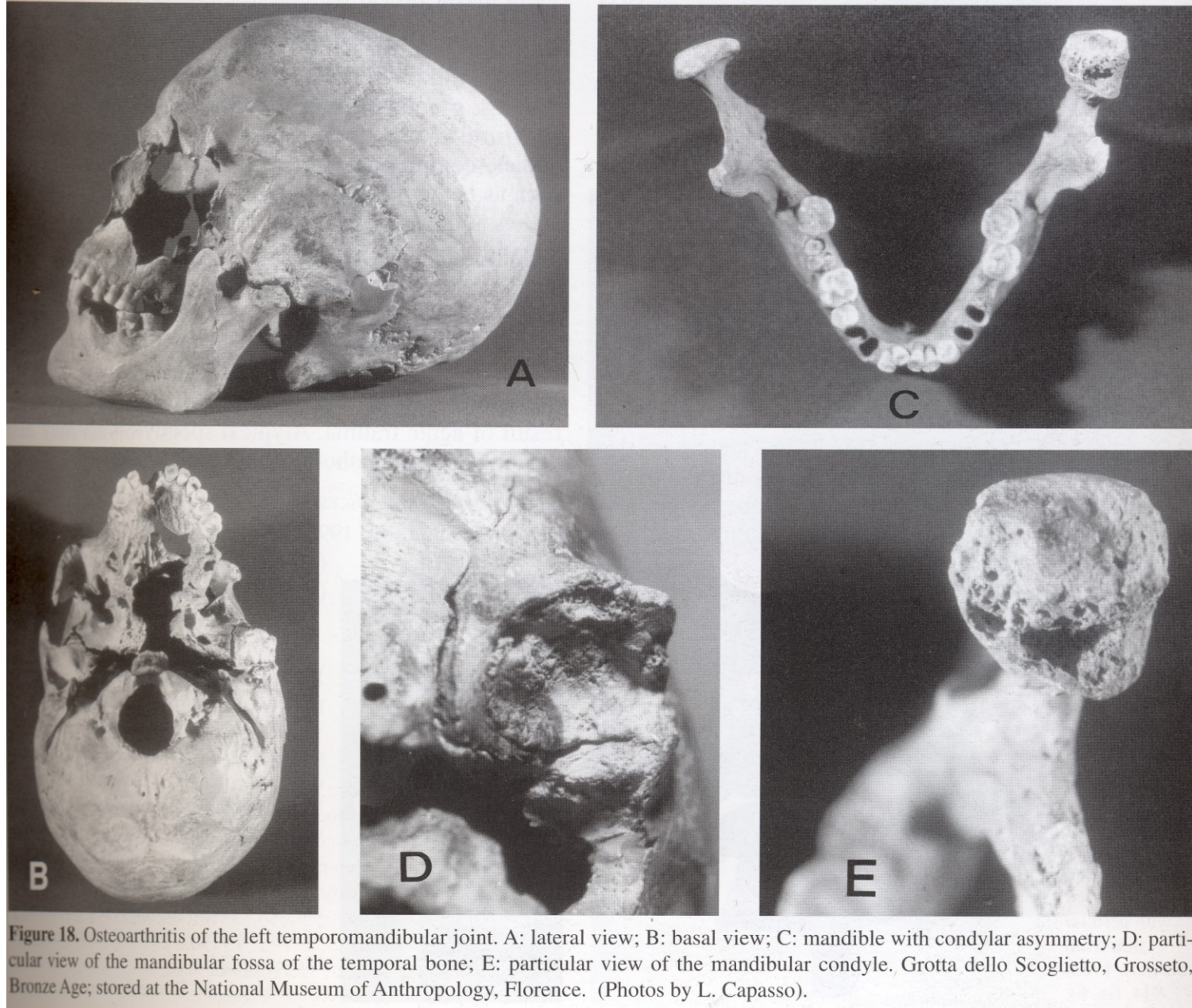
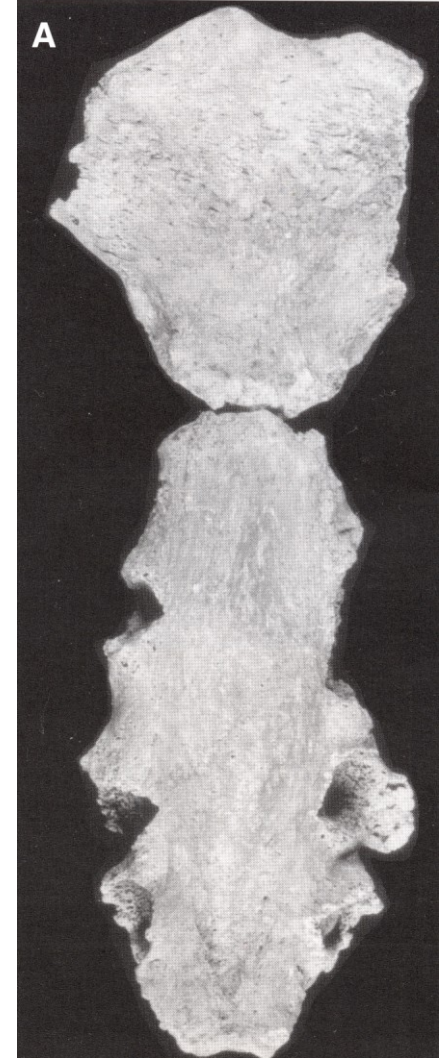


Figure 18. Osteoarthritis of the left temporomandibular joint. A: lateral view; B: basal view; C: mandible with condylar asymmetry; D: particular view of the mandibular fossa of the temporal bone; E: particular view of the mandibular condyle. Grotta dello Scoglietto, Grosseto, Bronze Age; stored at the National Museum of Anthropology, Florence. (Photos by L. Capasso).

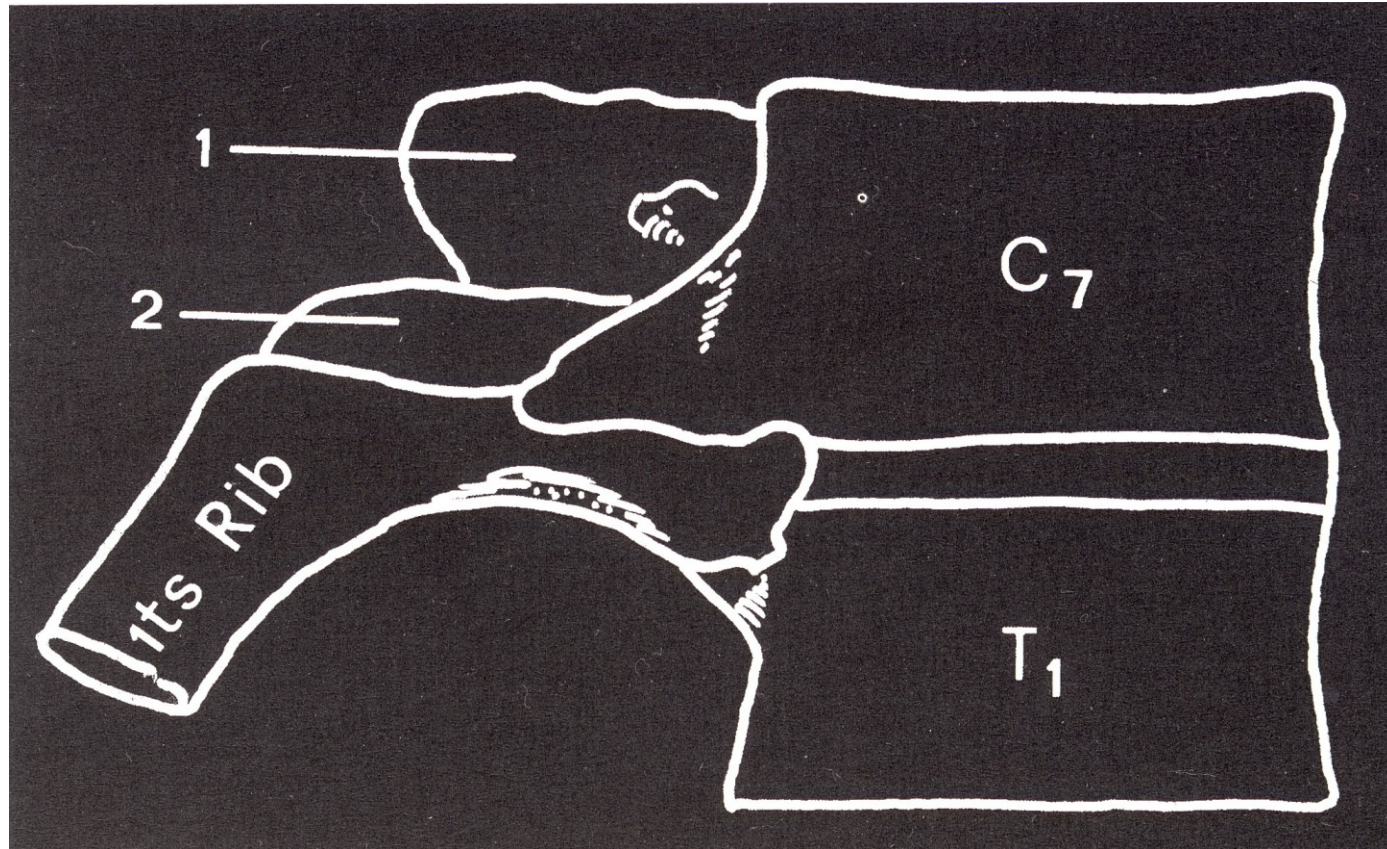
Srůst manubria sterni s tělem



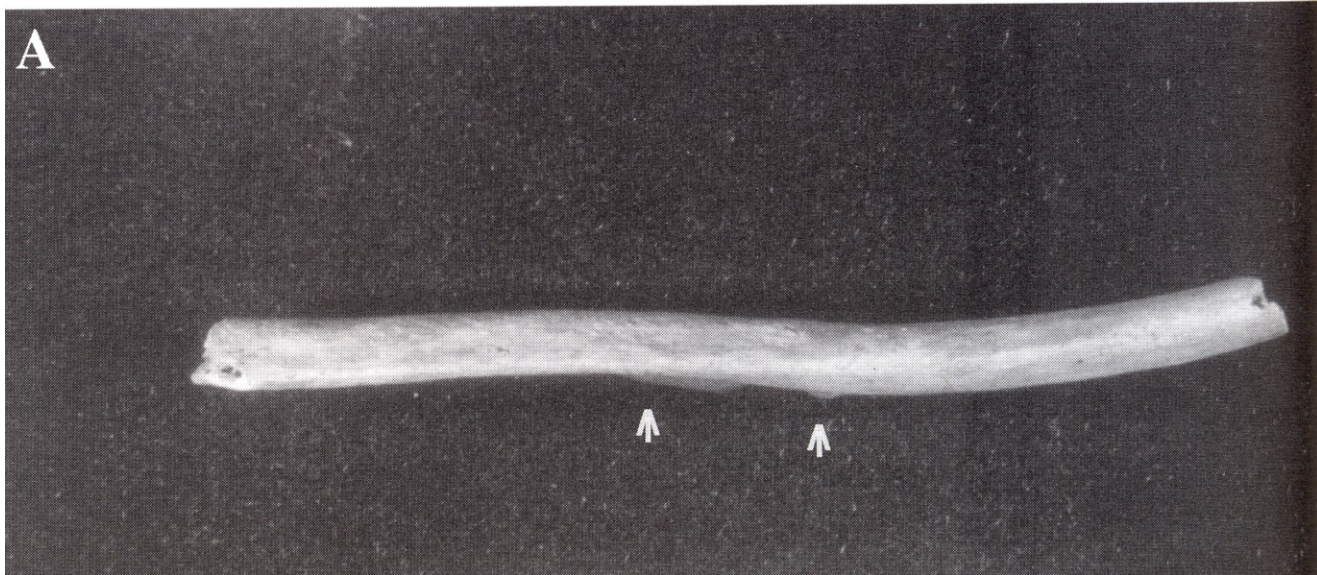
Prohnutí sterna



Ševcovské žebro



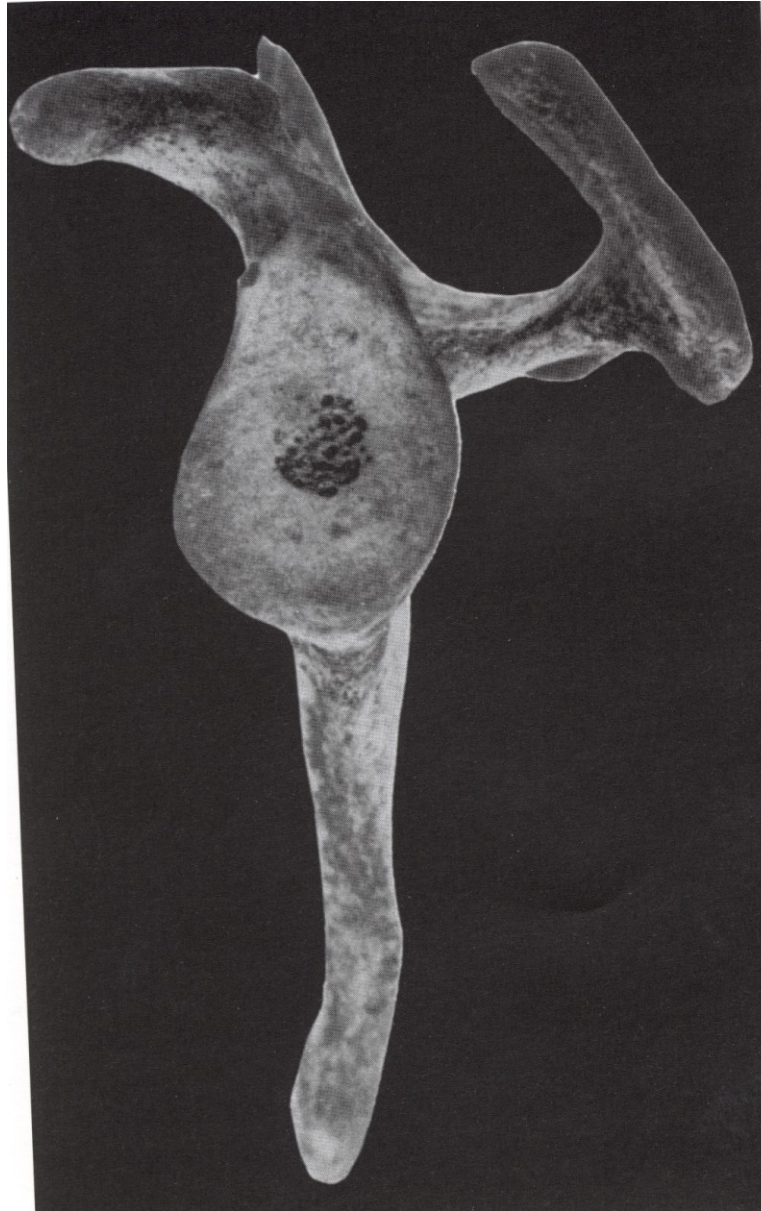
Andělský hrudník



Kostální syndesmóza klavikuly



Skapula- osteochondritis



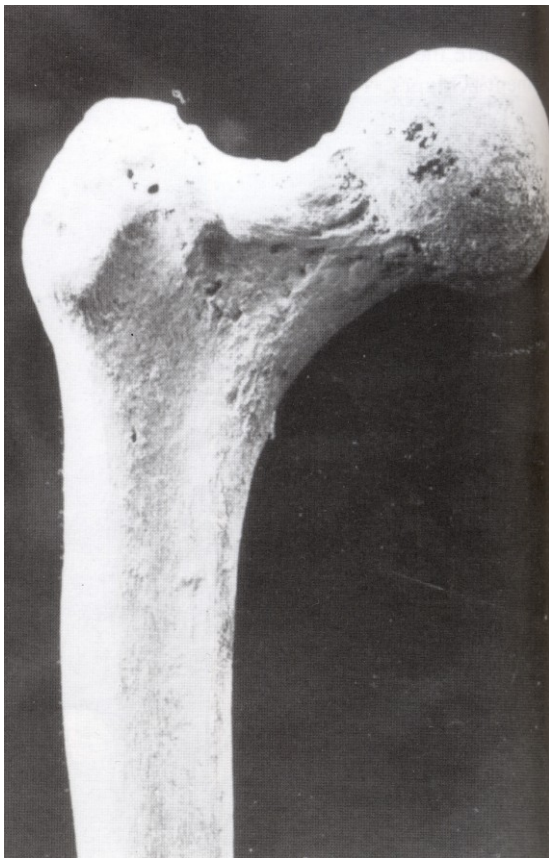
Entezopatie v místě přípoje m. pectoralis major a m. teres major



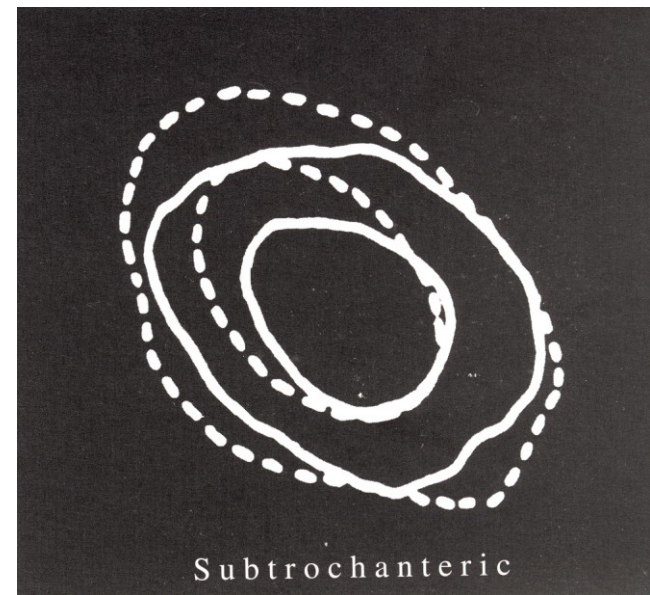
Figure 64. Thule Eskimo pectoralis major insertions with stress lesions scored, from left to right, as: S1=faint, S2=moderate, S3=strong. These categories are based on the Hawkey (1988) musculoskeletal stress marker scoring system. (Reproduced with permission from Hawkey and Merbs, 1995, fig. 3).

Asymetrie humeru





Platymerie femuru



Index horního příčného průřezu diafýzy (Index des oberen Diaphysequerschnitts)

Horní sagitální průměr diafýzy (M10) / horní transverzální průměr diafýzy (M9).

Rozdělení:

hyperplatymerní do 74,9

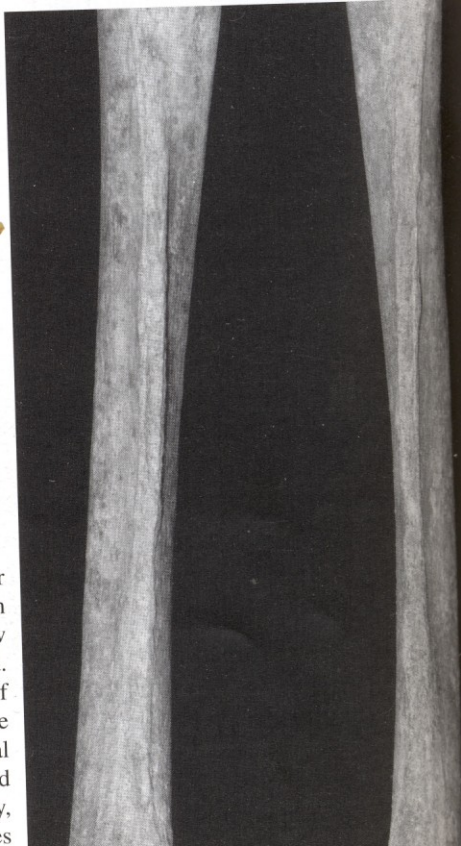
platymerní 75,0 - 84,9

eurymerní 85,0 - 99,9

stenomerní 100,0 a více

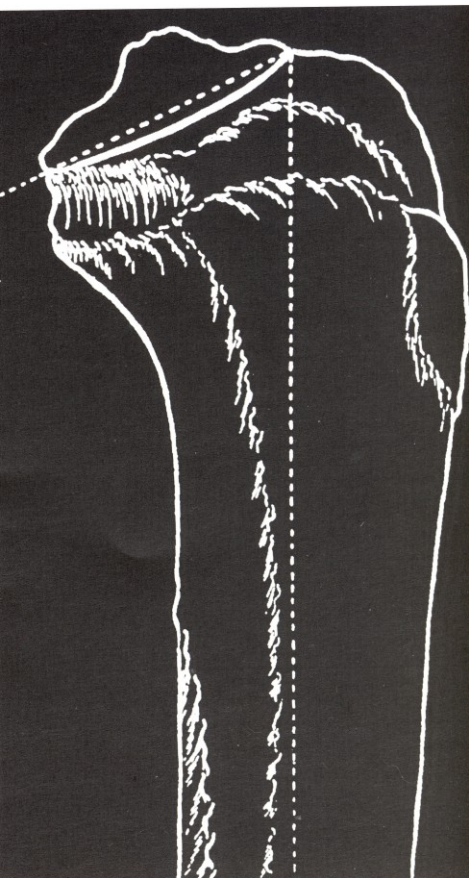
Pohansko u kostela – podle hodnot platymerního indexu měli muži i ženy diafýzu na horním konci femuru **plochou, tj. platymerní**, s převahou transverzálního rozměru (muži vpravo - 81,7 jedn, vlevo 80,7 jedn, ženy vpravo 77,7 jedn., vlevo 76,1 jedn.).

Pilasterismus a entezopatie linea aspera



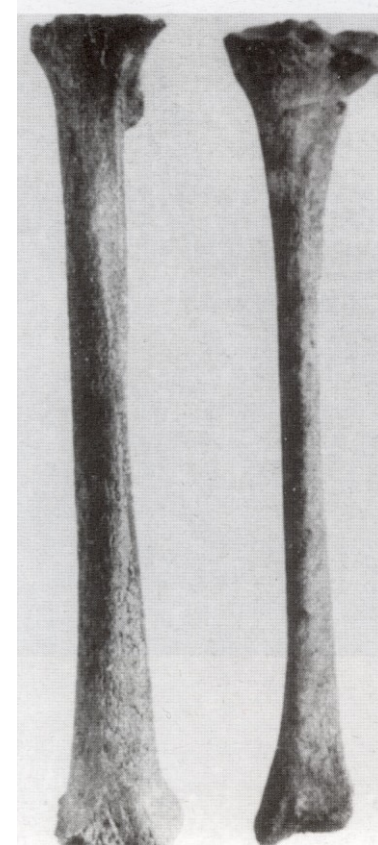
ior
an
ew
nd.
/ of
the
rial
'ard
sity,
ices

Retroverze tibie



Podle tohoto indexu byly tibie mužů a žen z Pohřebiště okolo kostela v průměru eurycnemické, tj. na průřezu spíše trojúhelníkovité.

Platyknemie



Index cnicicus

Transverzální průměr v úrovni foramen nutricium (M9a) / sagitální průměr v úrovni foramen nutricium (M8a).

Rozdělení

a/ podle Khufa

platyknem	do 64,9
mesoknem	65,0 - 69,9
euryknem	70,0 a více
euryknem	70,0 a více

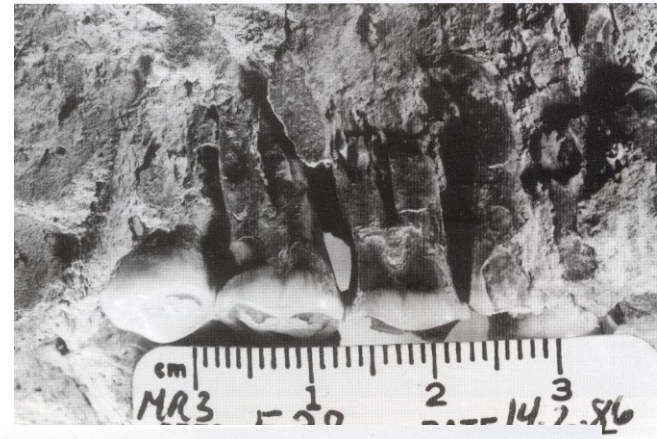
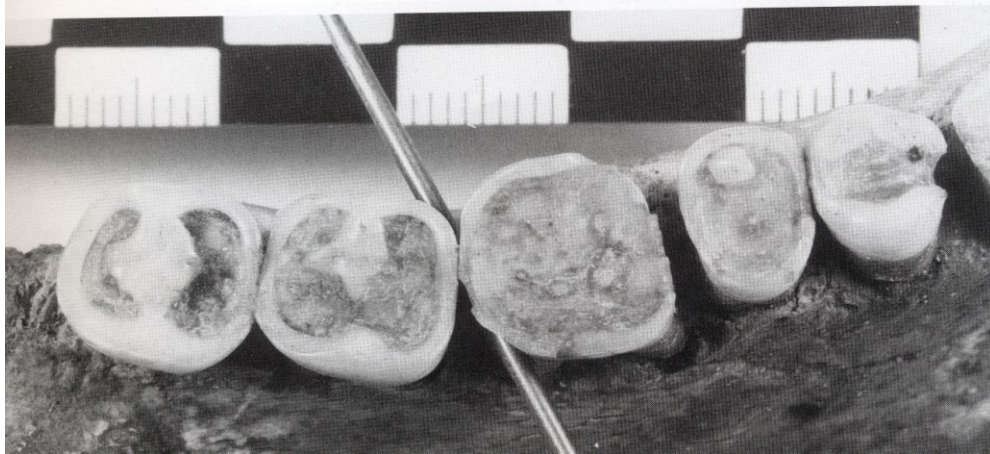
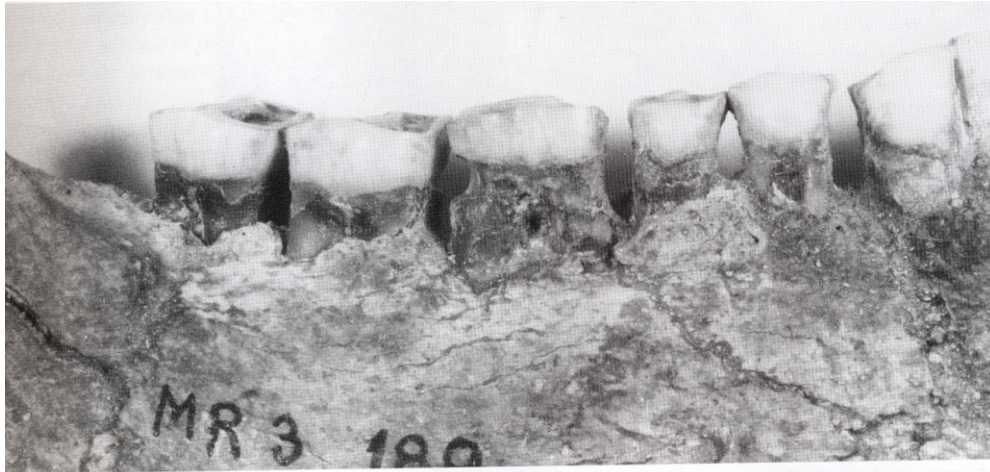
b/ podle Manouvriera a Vernaua

hyperplatyknem	do 54,9
platyknem	55,0 - 62,9
mesoknem	63,0 - 69,9

Oklusální jamky

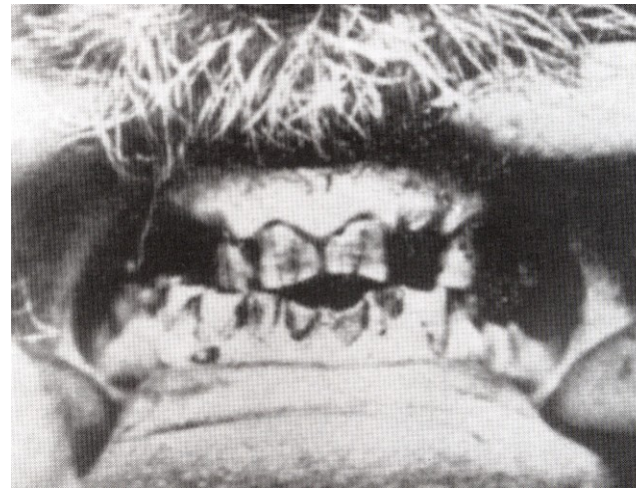
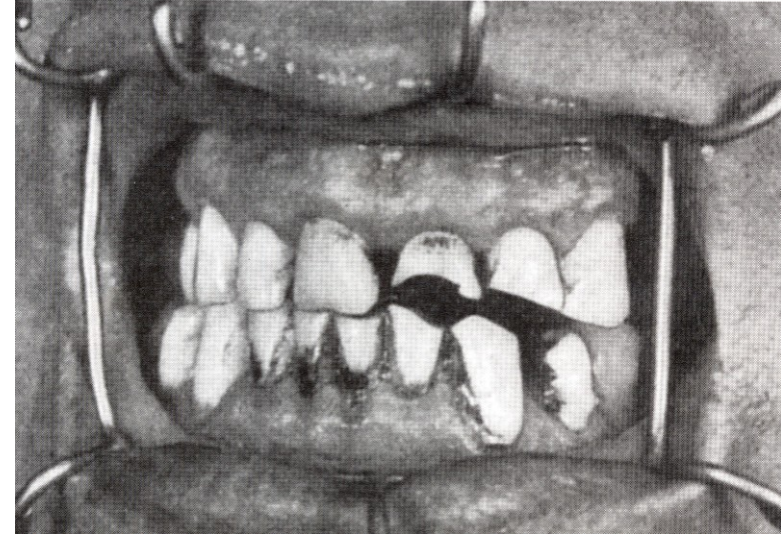


Interproximální jamky.



Vybroušené díry v zubním oblouku

Obrázek 7. Lebka č. A20 s keramickou dýmku nalezenou v hrobě (foto M. Prokopec)



Obrus předních zubů

